



مقاله پژوهشی

محله بلورشناسی و کانی شناسی ایران

سال سی و دوم، شماره دوم، تابستان ۱۴۰۳، از صفحه ۲۲۵ تا ۳۳۸



شیمی کانی توده گرانیتوئیدی غرب اردکان (ایران مرکزی)

جواد قانعی اردکانی

گروه زمین‌شناسی، دانشگاه پیام نور، تهران، ایران

(دریافت مقاله: ۱۴۰۲/۷/۲۵، نسخه نهایی: ۱۴۰۲/۱۰/۵)

چکیده: توده گرانیتوئیدی غرب اردکان با مجموعه کانی‌های اصلی کوارتر، ارتوکلاز، پلازیوکلاز و کانی‌های فرعی آمفیبول، بیوتیت، اسفن، زیرکن و آپاتیت در بخش میانی پهنه ایران مرکزی رخنمون دارد. بافت غالب در این توده دانهای متوسط تا ریز، گرانوفیری و میرمیکیتی است. بر اساس داده‌های شیمی کانی، آمفیبول‌های کلسیمی با ماهیت منیزیوهرونبلند تا اکتینولیت در دمای 890°C - 530°C متببور شده‌اند. همزمان، کانی پلازیوکلاز تا آندزین در 800°C - 700°C و بیوتیت‌های منیزیم‌دار در دمای 730°C - 650°C متببور شده‌اند. همچنین با توجه به شرایط اکسایشی، کانی‌های کدر نوع مگنتیت تشکیل شده‌اند. داده‌های شیمی همه این کانی‌ها به ماهیت گوشه‌ای ماقمای سازنده آنها اشاره دارد، که طی صعود دچار آلاش پوسته‌ای متوسط تا شدید شده‌اند. این توده‌ها با سرشت آهکی قلیایی از نوع I هستند که در موقعیت زمین‌ساختی فروزانش در ارتباط با کرانه قاره‌ای فعال تشکیل شده‌اند.

واژه‌های کلیدی: شیمی کانی؛ گرانیتوئید؛ آهکی قلیایی؛ فروزانش؛ اردکان.

مقدمه

ایران مرکزی از واحدهای اصلی زمین‌ساختاری مثلثی شکلی است که رویدادهای متعددی را پشت سر نهاده و بارها دستخوش دگرگونی، کوهزایی، فعالیت ماقمایی و چین‌خوردگی شده است. این منطقه از بزرگترین و پیچیده‌ترین واحدهای زمین‌شناسی ایران به شمار می‌رود که دارای طیف گسترده‌ای از قدیمی‌ترین سنگ‌های دگرگونی (پرکامبرین) تا آتشفسانه‌ای فعال و نیمه‌فعال امروزی است [۱]. در بخش غربی ایران مرکزی، فعالیت ماقمایی گسترده‌ای در راستای نوار بلندی از سهند تا بزمان به طول حدود ۲۰۰۰ کیلومتر، پهنه‌ی تقریبی ۵۰ تا ۱۵۰ کیلومتر و مواري با پهنه دگرگون شده سنندج- سیرجان و زاگرس [۲] با نام کمربند آتشفسانی- نفوذی ایران مرکزی معرفی شده است [۳] (شکل ۱). این کمربند آتشفسانی-نفوذی یکی از سه کمربند ماقمایی سنوزئیک است [۴] که دارای توده‌های گرانیتوئیدی با ترکیب آهکی قلیایی، متألومین و بیشتر از نوع I هستند [۵]. به باور زمین‌شناسان نوار زمین‌ساختی ماقمایی ارومیه- دختر

یک کمان ماقمایی نوع آندی و بخشی از کمربند کوهزایی زاگرس بوده که در اثر فروزانش پوسته اقیانوسی نئوتیس به زیر لبه جنوبی ایران مرکزی در راستای کرانه قاره‌ای ایران مرکزی و برخورد بین صفحه عربی و ایران به عنوان بخشی از اوراژیا به وجود آمده است [۲، ۱۰-۶].

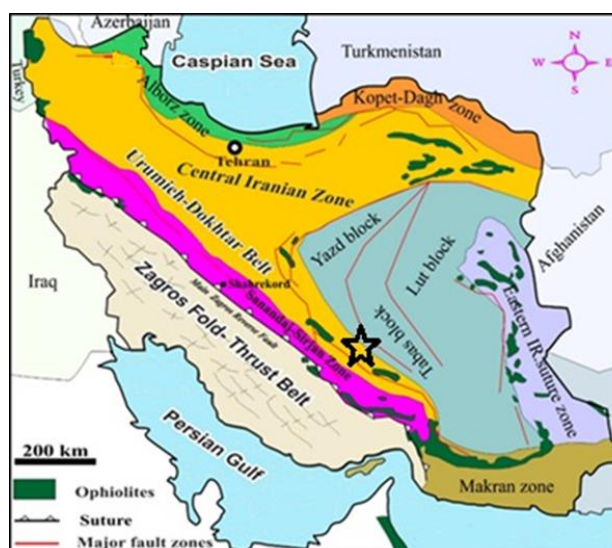
توده‌های گرانیتوئیدی غرب اردکان بخشی از فعالیت ماقمایی ایران مرکزی هستند که به صورت رخنمون‌های پراکنده دیده می‌شوند. توده نفوذی امین‌آباد و ارجنان با رخنمون بر جسته و رنگ خاکستری تا کرمی در موقعیت‌های نشان داده شده در شکل ۲ دیده می‌شوند. در این پژوهش با استفاده از شیمی کانی‌های آمفیبول، پلازیوکلاز و بیوتیت تا سیر دگرگونی ماقمایی این دو توده بررسی شده است.

بر اساس بررسی‌های صحرایی واحدهای سنگی منطقه مورد بررسی را می‌توان به چهار گروه تقسیم نمود (شکل ۲): ۱) واحدهای سنگی قدیمتر از ترشییری که شامل سنگ‌های رسوبی و آذرین با چین‌خوردگی و به شدت خرد شده هستند که بیشتر در غرب منطقه رخنمون دارند و در برگیرنده

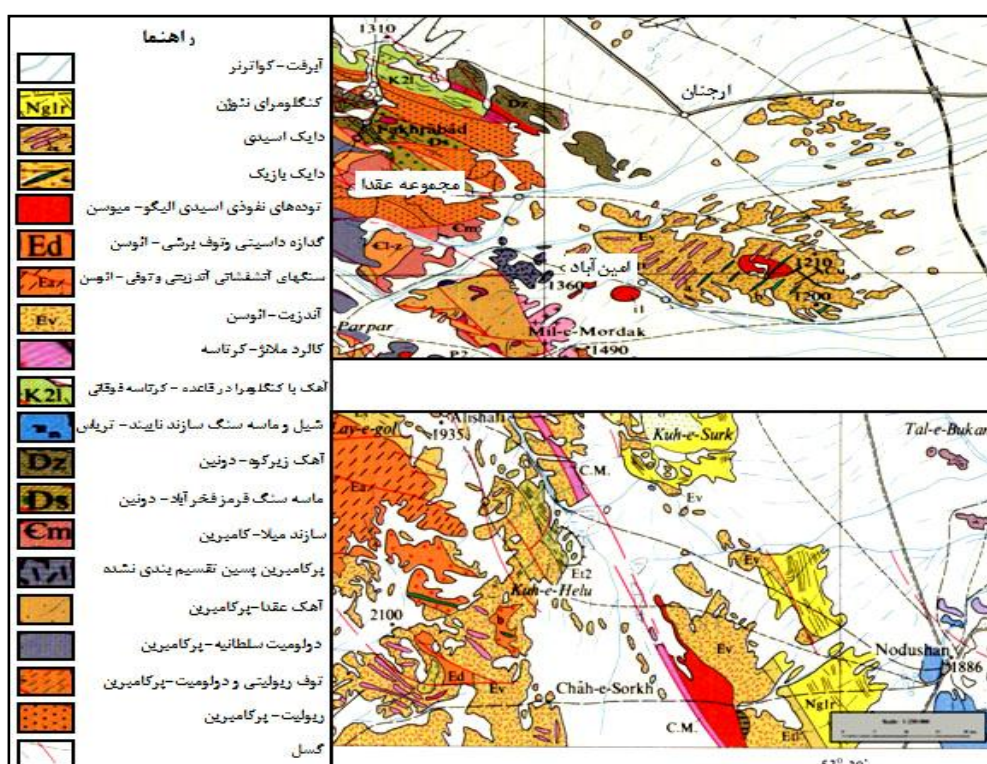
*نویسنده مسئول، تلفن: ۰۹۱۳۳۵۵۷۲۲۶، پست الکترونیکی: ghaneijavad@pnu.ac.ir

در دو منطقه ارجان و امین‌آباد در رسوب‌های آبرفتی و سنگ‌های آتشفسانی ائوسن منطقه رخنمون دارند و دایک‌های اسیدی و بازیک که به درون سنگ‌های آتشفسانی ائوسن و توده‌های نفوذی الیگومیوسن تزریق شده‌اند و دارای روند شمال شرقی-جنوب غربی هستند.

سازنده‌های پرکامبرین تا ترشیری هستند؛ ۲) واحدهای سنگی رسوبی-آتشفسانی ائوسن که در بی کنگلومرای قاعده‌ای دوران سوم یک توالی ضخیم از فرآورده‌های جریانی و پرتابه‌های آتشفسانی را تشکیل داده‌اند [۱۱؛ ۳) واحدهای سنگی الیگومیوسن که به صورت توده‌های نفوذی گرانیتوئیدی کوچک



شکل ۱ موقعیت منطقه مورد بررسی در نقشه زمین‌شناسی واحدهای ساختاری ایران [۱۲].



شکل ۲ نقشه زمین‌شناسی مناطق مورد بررسی برگرفته از نقشه ۱:۲۵۰۰۰۰ منطقه اردکان با کمی تغییرات [۱۱].

نمونه‌ی دستی صورتی مایل به خاکستری و دارای دانه‌بندی ریزتا متوسط و کانی‌های روشن شامل کوارتز، ارتوکلاز گوشتشی رنگ و پلازیوکلاز بوده و کانی‌های مافیک آنها بیشتر از بیوتیت و هورنبلنده سبز هستند، گاهی اندازه درشت‌بلورهای پلازیوکلاز به چند سانتی‌متر می‌رسد (شکل ۳ ب). رگه‌های آپلیتی صورتی رنگ با ضخامت متوسط ۲۰ سانتی‌متر و روند شمالی-جنوبی دیده می‌شوند. (شکل ۳ ب). در برخی بخش‌ها، رگچه‌های پگماتوبئیدی کم وسعت چند سانتی‌متری دیده می‌شوند. این رگچه‌ها شامل کانی‌های کوارتز، ارتوز صورتی رنگ، بیوتیت و گاهی هورنبلنده هستند.

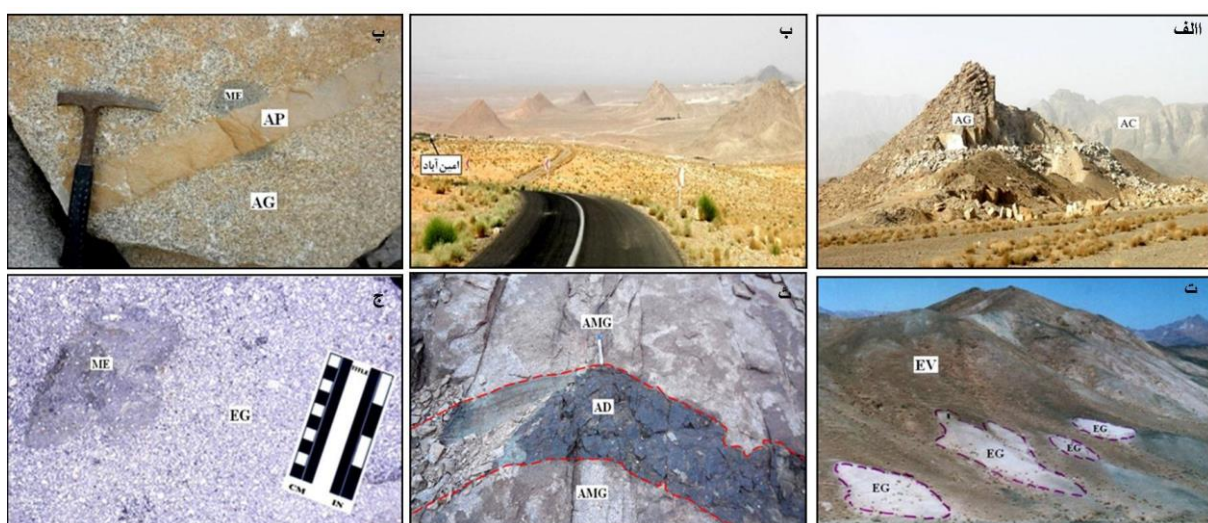
توده نفوذی ارجنان در ۲۵ کیلومتری غرب اردکان، در سنگ‌های رسوبی-آتشفسانی اؤسن شامل گدازه‌های آندزیتی و سنگ آهک‌های نومولیت‌دار نفوذ کرده است (شکل ۳ ت). ارتباط سنگ‌های گرانیتوبئیدی با سنگ‌های آتشفسانی اؤسن به صورت برخوردگاه مشخص (غیرتدریجی)، زائد و زبانه‌های نفوذی در آندزیت‌ها دیده می‌شود که در کنار زبانه‌های نفوذی، آندزیت‌ها دگرسان شده و باز تیلور یافته که بیانگر تقدم زمانی سنگ‌های آندزیتی نسبت به توده‌های گرانیتوبئیدی است (شکل ۳ ث). نمونه‌های دستی با رنگ روشن، تمام روشن و تمام بلوری و دارای درشت بلورهای پلازیوکلاز و کوارتز هستند (شکل ۳ ج).

روش بررسی

پس از تهیه بیش از ۳۰ مقطع نازک و انجام بررسی‌های سنگ-نگاری ۱۰ مقطع برای تجزیه نقطه‌ای با ریزکاواکترونی مدل SX100 ساخت شرکت کامکای فرانسه مجهز به ۵ طیف سنج تفکیک طول موج (WDS) و یک طیف‌سنج پراکنده‌گی انرژی پرتوی ایکس (EDX) به مرکز تحقیقات فرآوری مواد معدنی ایران (کرج) ارسال شد. در این تجزیه‌ها، ولتاژ شتاب دهنده دستگاه ۱۵kV، شدت جریان ۱۵ nA و زمان شمارش سی ثانیه بوده است. این دستگاه جدیدترین نسل ریزکاواکامکا ساخت سال ۱۹۹۴ و کاملاً خودکار است که امکان تجزیه به‌طور شباهه روزی وجود دارد. انجام تجزیه‌های دقیق، بر پایه دقت و قابلیت اطمینان WDS‌ها و پایداری بالای پرتوی الکترونی است. برای پردازش داده‌ها، رسم نمودارها و نامگذاری دقیق کانی‌ها از نرم افزار Minpet 2.02 و اکسل استفاده شد.

زمین‌شناسی عمومی منطقه

توده‌های نفوذی امین‌آباد در ۴۰ کیلومتری جنوب‌غرب اردکان، در غرب روستای امین‌آباد، به صورت توده‌های نفوذی پراکنده، منفرد و دوکی‌شکل رخمنون دارند که به نظر می‌رسد که بیرون‌زدگی‌های آنها تابع ساختار گسل‌های فرعی منطقه است و به‌طور محدود با سنگ‌های آتشفسانی-رسوبی اؤسن برخوردگاه مشخص دارند (شکل ۳ الف). این سنگ‌ها در



شکل ۳ (الف) توده نفوذی گرانیتوبئیدی امین‌آباد، (ب) دورنمایی از رخمنون‌های تقریباً مخروطی شکل از توده نفوذی امین‌آباد در غرب روستای امین‌آباد، (پ) رگه‌های آپلیتی (AP) قطع‌کننده سنگ‌های گرانیتوبئیدی به همراه برونبوم ریزدانه‌ای مافیک (MEE)، (ت) زائده‌هایی از توده گرانیتوبئیدی ارجنان (EJG) با سنگ‌های آتشفسانی-رسوبی اؤسن (EV) در جنوب روستای ارجنان، (ث) دایک آندزیتی درون توده نفوذی ارجنان، (ج) درشت بلورهای پلازیوکلاز و برونبوم‌های مافیک (ME) در گرانیتوبئیدی ارجنان.

با ۲۱ تا ۴۴ درصد فراوانی از نوع ارتوکلاز هستند و میکروکلین در آنها بسیار نادر است (شکل ۴ الف). در برخی نمونه‌ها، همرشدی گرانوفیری ارتوکلاز با کوارتز دیده می‌شود (شکل ۴ ب). کوارتز با فراوانی ۲۲ تا ۳۹ درصد، اغلب به صورت بلورهای نیمه‌شکل‌دار تا بی‌شکل است. پلاژیوکلازها با فراوانی ۱۶ تا ۴۱ درصد، به صورت شکل‌دار تا نیمه‌شکل‌دار با ترکیب الیگوکلاز-آندزین هستند. ارتوکلاز با ماکل کارلسپاد و گاهی دارای تیغه‌هایی از آلبیت است و اغلب تقریباً موازی هم رشد کرده و منجر به تشکیل بافت پرتیت رشتہ‌ای شده‌اند (شکل ۴ پ). برخی از پلاژیوکلازها لبه واکنشی و آثار خوردگی دارند. بلورهای درشت‌تر پلاژیوکلاز گاهی دارای میانبارهایی از بیوتیت، کوارتز، هورنبلند، فلدسپار قلیایی و ریزستگ‌های پلاژیوکلاز هستند. کانی‌های فرعی آمفیبول شکل‌دار تا نیمه‌شکل‌دار با فراوانی ۰/۱ تا ۴/۵ درصد، بیوتیت شکل‌دار تا نیمه شکل‌دار با فراوانی ۰/۵ تا ۵/۵ درصد، آپاتیت، زیرکن و کانی‌های کدر هستند. همچنین کانی‌های ثانوی موجود در این سنگ‌ها شامل کانی‌های رسی، سریسیت، کلریت و اپیدوت بوده که به ترتیب برآمده از دگرسانی فلدسپار قلیایی، پلاژیوکلاز، بیوتیت و آمفیبول هستند.

توده‌های نفوذی امین‌آباد و ارجنان میزبان دایک‌های اسیدی و مافیک بوده‌اند. وجود این دایک‌ها بیانگر یک نظام کششی منطقه‌ای است که از روند گسل‌های عرضی منطقه پیروی کرده و منجر به تشکیل یک مجموعه شکستگی‌های عمیق شده است و سپس مواد مذاب با ترکیب حدواتسط به درون آنها راه یافته و در اثر سرد شدن سریع، دایک‌های آندزیتی را تشکیل داده‌اند. همچنین برونبوم‌های مافیک درون توده‌های موردنیوزدیوریت تا می‌شوند که ریزدانه‌ای مافیک با ترکیب کوارتز-مونزونیوزدیوریت تا ۷۰ سانتی‌متر، آنها دارای قطر از چند سانتی‌متر تا بیش از ۷۰ دیوریت هستند. آنها دارای قدر از چند سانتی‌متر تا بیش از ۷۰ سانتی‌متر، بی‌شکل، گرد تا بیضوی شکل و دارای لبه‌های گردشده یا کنگره‌دار تا زاویه‌دار و مرز تیز با سنگ میزبان هستند (شکل ۳ج).

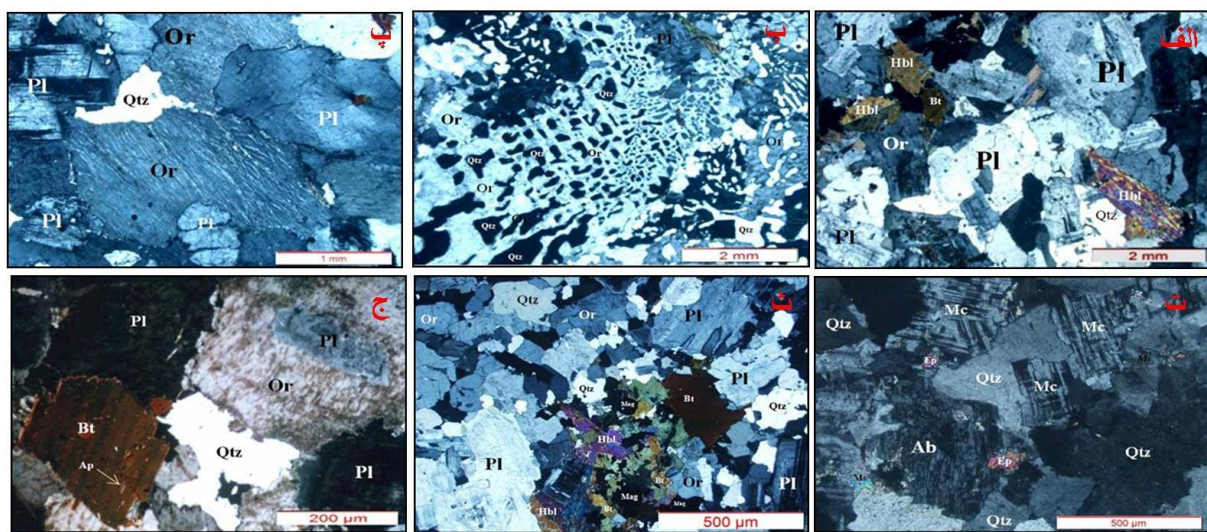
سنگ نگاری و کانی شناسی

در جدول ۱ رده‌بندی مودال سنگ‌های آذرین موردنیوزدیوریت آورده شده است. سنگ‌نگاری توده مونزونیوزدیوریت امین‌آباد نشان می‌دهد که این توده دارای بافت دانه‌ای ریزدانه تا متوسط دانه و گاهی پورفیری با درشت بلورهای پلاژیوکلاز، گرانوفیری، پرتیت و پادرایپاکیوی است. در نمونه‌های موردنیوزدیوریت کانی‌های اصلی فلدسپار قلیایی، پلاژیوکلاز و کوارتز دیده می‌شود؛ فلدسپارهای قلیایی به صورت نیمه شکل‌دار تا بی‌شکل

جدول ۱ نتایج تجزیه مودال نمونه‌های توده‌های نفوذی غرب اردکان.

Opq: پیروکسن، Hbl: هورنبلند، Bit: بیوتیت، Pl: پلاژیوکلاز، A.F: فلدسپار قلیایی، QRz: کوارتز، Ap: آپاتیت.

نمونه	شماره نمونه	نوع سنگ	Qtz	A.F	Pl	Bit	Hbl	Px	Ap	Opq	نقاط شمارش شده
امین‌آباد	AM.1	مونزونیوزدیوریت	۸/۱	۳۶/۴	۲۸/۹	۲/۹	۳/۴	-	-	۰/۳	۸۰
	.AM.1	مونزونیوزدیوریت	۳۰/۹	۲۷/۴	۲۳/۸	۳/۶	۳/۴	-	-	۰/۹	۶۹/۴
	AM.12	گرانوپوریت	۲۱/۸	۲۹/۶	۴۰/۸	۲/۱	۳/۶	-	<۰/۱	۲/۳	۸۵/۰
	AM.15	سینیوگراناتیت	۳۸/۶	۴۴/۲	۱۵/۸	۰/۶	۰/۱	-	-	۰/۷	۷۵/۰
	AM.18	مونزونیوزدیوریت	۲۸/۹	۲/۱	۳۹/۴	۵/۶	۴/۴	-	<۰/۱	۰/۶	۷۸/۰
	AM.23	سینیوگراناتیت	۳۴/۵	۴/۱	۲۰/۵	۲/۹	۰/۹	-	<۰/۱	۰/۱	۶۸/۰
	AM.27	مونزونیوزدیوریت	۳/۳	۳/۴	۲۷/۵	۳/۸	۰/۸	-	<۰/۱	۰/۸	۷۲/۰
	AM.31	مونزونیوزدیوریت	۲/۶	۳۳/۲	۳۵/۸	۳/۶	۱	-	-	۰/۴	۹/۰
	AM.35	مونزونیوزدیوریت	۳۰/۴	۲۹/۴	۳۴/۳	۲/۵	۲/۴	-	-	۰/۸	۷۹/۰
	AM.36	مونزونیوزدیوریت	۲۳/۴	۳۷/۵	۳۰/۱	۴/۹	۴/۶	-	<۰/۱	۰/۸	۸۲/۰
	AM.37	مونزونیوزدیوریت	۳/۱	۴/۴	۲/۲	۲/۵	۰/۱	-	-	۰/۴	۸۰/۰
	AM.38	مونزونیوزدیوریت	۲۲/۵	۲/۵	۳/۴	۳/۶	۴/۳	-	-	۰/۶	۸۱/۵
	AM.44	مونزونیوزدیوریت	۲۹/۵	۲۲/۲	۴۱/۳	۳/۸	۱/۸	-	<۰/۱	۱/۴	۶۵/۰
اردکان	EJ.3	گرانوپوریت	۱۹/۵	۱۵/۵	۵۶/۹	۲/۶	۴/۱	-	<۰/۱	۱/۳	۶۱/۰
	EJ.4	گرانوپوریت	۲۶/۳	۲۲/۶	۴۳/۳	۲/۳	۴/۲	-	<۰/۱	۱/۲	۷۲/۰
	EJ.8	گرانوپوریت	۲۶/۴	۱۹/۴	۴۵/۸	۳/۲	۱/۴	-	<۰/۱	۱	۵۹/۰
	EJ.16	گرانوپوریت	۲/۱	۱۷/۴	۵/۲	۳/۱	۴/۸	-	<۰/۱	۱/۶	۷۱/۰
	EJ.17	مونزونیوزدیوریت	۲۷/۳	۳۵/۲	۲۹/۶	۳/۲	۴/۱	-	<۰/۱	۰/۵	۸۴/۰
	EJ.22	گرانوپوریت	۲۸/۲	۲۰/۹	۴۱/۹	۳/۳	۵/۲	-	-	۰/۵	۶۸/۰
	EJ.24	گرانوپوریت	۲۴/۵	۲/۴	۴۵/۷	۱/۹	۲/۳	-	<۰/۱	۰/۵	۶۴/۰
	EJ.28	گرانوپوریت	۲۵/۱	۱۹/۸	۴۶/۵	۲/۹	۴/۷	-	-	۲	۶۲/۰
بُزوجان	AM.10	کوارتز-مونزونیوزدیوریت	۱۱/۲	۱۳/۷	۵۰/۵	۵/۵	۷/۶	۸/۸	<۰/۱	۲/۶	۶۰/۰
	EJ.30	کوارتز-مونزونیوزدیوریت	۱۰/۴	۱۰/۶	۶/۹	۶/۶	۱/۸	۸/۵	<۰/۱	۲.۴	۶۷/۰



شکل ۴ (الف) بافت دانه‌ای و هورنبلند اسکلتی و گرددشده در توده مونزوگرانیت امین‌آباد، (در نور قطبیده متقطع، Xpl)، (ب) بافت گرافیکی در توده مونزوگرانیت امین‌آباد (Xpl)، (پ) پرتیت رشتہ‌ای، همراه با کوارتز و پلاژیوکلاز در توده امین‌آباد، (ت) بافت دانه‌ای همراه با درشت بلور پلاژیوکلاز با بافت صفحه شطرنجی در توده ارجنان، (ث) هورنبلند و بیوتیت همراه با کانی‌های فلسی در ارجنان، (ج) درشت بلورهای پلاژیوکلاز، کوارتز و بیوتیت در توده گرانیتوبئیدی ارجنان.

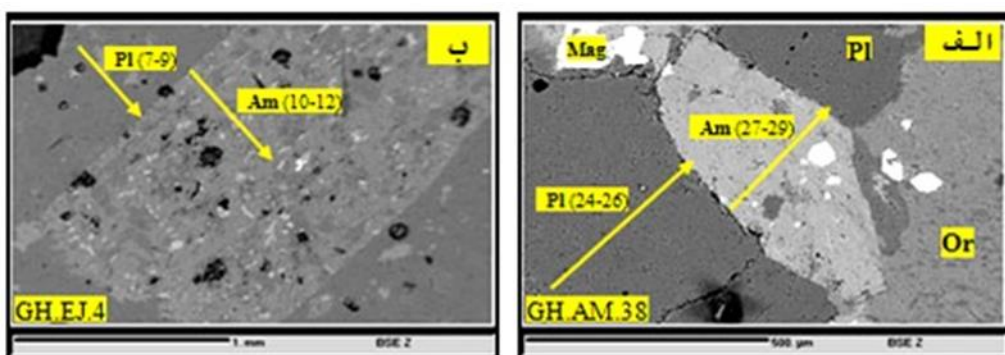
روش ۲۳ اکسیژن استفاده شد. نتایج تجزیه ریزپردازی آمفیبول‌های توده‌های گرانیتوبئیدی غرب یزد در جدول ۲ ارائه گردیده است. در شکل ۵، تصاویر الکترون‌های پس پراکنده (BSE) از آمفیبول‌ها آورده شده است. براساس نمودار مجموع کاتیون‌های $\text{Si} = \text{Na} + \text{K} + \text{Ca}$ [۱۲]، آمفیبول‌های مورد بررسی در گستره آمفیبول‌های ماقمایی قرار دارند (شکل ۶ الف). در نمودار رده‌بندی آمفیبول‌ها، ترکیب شیمیایی همه آمفیبول‌ها در گروه کلسیمی (شکل ۶ ب) و بر پایه مشخصه‌های شیمیایی $\text{Ca}_A > 1.5$ ، $(\text{Na} + \text{K})_A < 0.50$ ، $(\text{Na} + \text{Ca})_{\text{B}} \geq 1$ ، $\text{Ti} < 0.50$ و $\text{Si} > 6.5$ و نیز $\text{Ca} > 0.5$ ، $(\text{Na} + \text{Ca})_A \geq 0.5$ ، $\text{Al} < 0.50$ و برخی در گستره منیزیو-هورنبلند و برخی در گستره فرو-هورنبلند، ترمولیت و فروکتنیولیت قرار می‌گیرند (شکل ۶ پ) که شاخص گرانیت‌های نوع I هستند [۱۴]. از آنجا که مقدار Al کل در آمفیبول‌ها تابع فشار طی تشکیل این فاز است، در اینجا از مقدار Al در درشت بلورهای آمفیبول برای محاسبه فشار در زمان تبلور استفاده شد. یکی از روش‌های محاسبه فشار تبلور توده‌های گرانیتوبئیدی، روش مرجع [۱۵] است (شکل ۶ پ):

$$\begin{aligned} P [\pm 0.6 \text{kbar}] &= -3.01 + 4.76 \text{Al}^T - \{(T [\text{°C}] - 675)/85\} \times \{0.53\text{Al}^T + 0.005294 \times (T [\text{°C}] - 675)\} \\ r^2 &= 0.99 \end{aligned} \quad (1)$$

در توده نفوذی ارجنان بافت‌های دانه‌ای، پورفیری (با درشت بلورهای پلاژیوکلاز و کوارتز)، میرمکیتی و گرافیکی دیده می‌شوند (شکل ۴ت). کانی‌های اصلی این سنگ‌ها پلاژیوکلازهای شکل دار تا نیمه‌شکل دار همراه با تیغه‌های ماکل تکراری نامنظم و گاهی با حالت گوهای شکل و بافت صفحه شطرنجی با فراوانی ۴۷ درصد هستند. کوارتزهای ریز تا درشت بلور و بیشتر بی‌شکل تا ۲۴ درصد و ارتکلازهای درشت تا ریزدانه و بیشتر نیمه‌کل دار با ماکل کارلسباد گاهی با همرشدی کوارتز تا ۲۰ درصد حضور دارند. کانی‌های فرعی هورنبلندهای شکل دار تا نیمه‌شکل دار با فراوانی حدود ۴۵ درصد (شکل ۴ث). بیوتیت‌های نیمه‌شکل دار تا بی‌شکل با فراوانی تا ۳ درصد (شکل ۴ج)، اسفن اولیه و ثانویه، آپاتیت، زیرکن‌ها و کانی‌های کدر هستند. کانی‌های ثانوی شامل سریسیت، کانی‌های رسی، اسفن و کلربیت هستند.

شیمی کانی‌های مورد بررسی آمفیبول

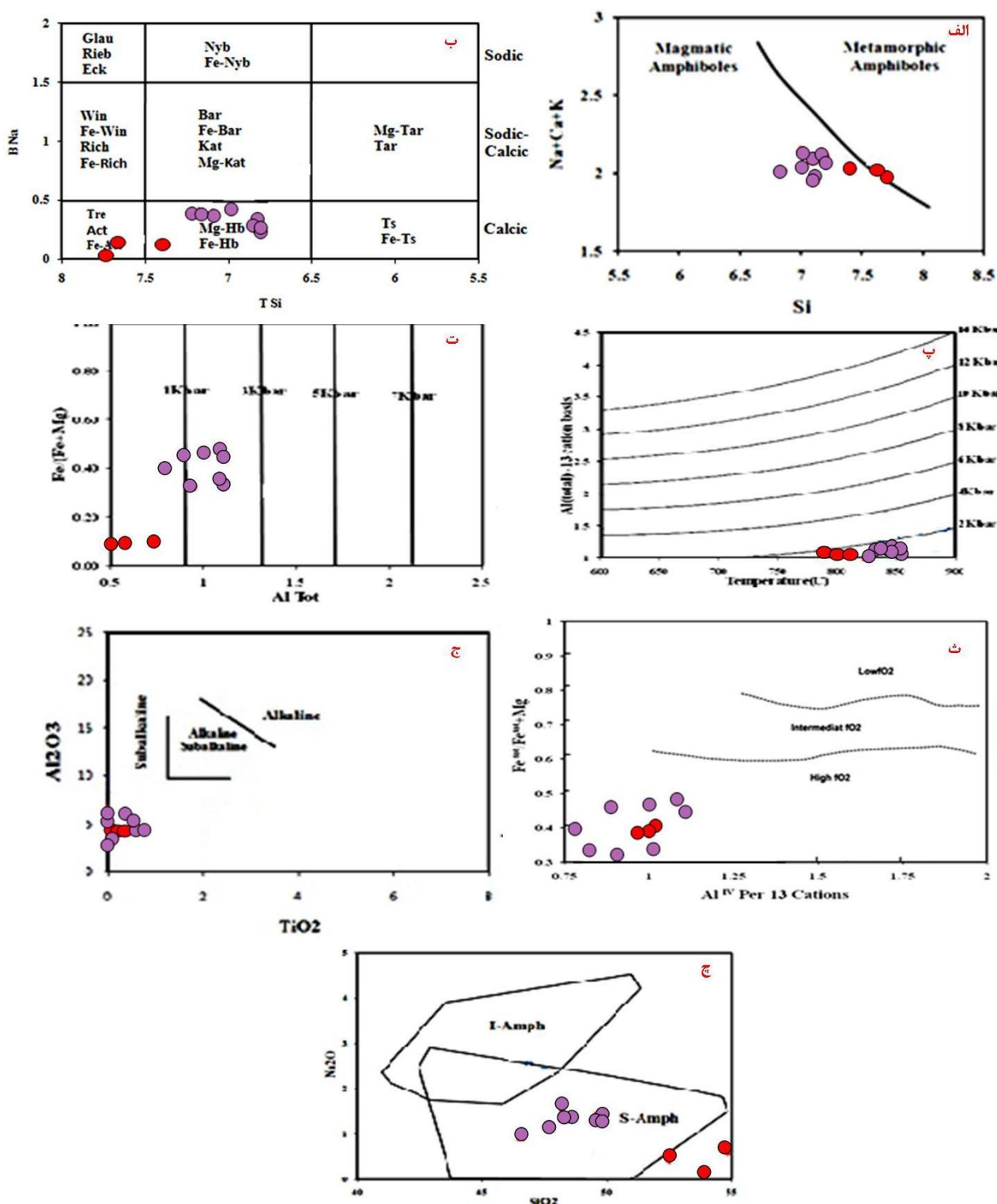
ساخтар کانی آمفیبول، سیلیکات دو زنجیره‌ای بوده که دارای ترکیب شیمیایی و ساختار کانی‌شناسی متنوعی است و در گستره وسیعی از انواع سنگ‌ها با شرایط دما و فشار مختلف حضور دارد [۱۲]. در بهنجار کردن آمفیبول‌ها برای تعیین دما از روش ۱۳ کاتیون و برای محاسبه فرمول ساختاری و فشار از



شکل ۵ تصاویر BSE از (الف) آمفیبول شکل دار همزیست با پلاژیوکلاز، ارتوز، کوارتز و مگنتیت در مونزو گرانیت امین آباد، (ب) آمفیبول با ترکیب منیزیو ہورنبلند و ترمولیت-اکتینولیت با ماکل کارلسbad و در تعادل با پلاژیوکلاز در گرانودیوریت ارجان.

جدول ۲ نتایج تجزیه ریزپردازشی آمفیبول ارجان و امین اباد (بر اساس ۲۳ اکسیژن) : M: مرکز، C: مرکز، Ede: میانه، R: لبه و Ede: اندازیت).

نمونه	AM.35	AM.35	AM.35	AM.35	AM.35	AM.38	AM.38	AM.38	EJ.4	EJ.4	EJ.4
موقعیت	2,32,R	2,33,M	2,34,C	2,35,M	2,36,R	4,27,R	4,28,C	4,29,R	2,10,R	2,11,M	2,12,C
SiO ₂	49,71	47,65	46,53	47,09	48,51	49,54	48,17	49,57	54,85	53,95	52,49
TiO ₂	0,750	1,130	0,770	1,120	0,560	0,00	0,00	0,00	0,0	0,030	0,060
Al ₂ O ₃	4,650	6,510	6,270	5,850	5,120	5,510	6,520	5,560	2,820	3,450	4,430
FeO	16,11	18,21	19,43	18,98	18,15	12,43	12,64	12,37	3,920	3,810	3,760
MnO	0,760	1,010	0,810	0,910	1,130	0,470	0,490	0,490	0,040	0,070	0,070
MgO	13,23	12,34	11,78	12,06	11,97	14,80	14,69	15,49	21,16	19,77	20,99
CaO	11,23	10,74	11,47	11,01	9,68	11,71	11,57	11,43	12,23	12,89	12,83
Na ₂ O	1,39	1,10	0,92	1,21	1,33	1,42	1,55	1,420	0,580	0,120	0,410
K ₂ O	0,51	0,47	0,49	0,46	0,41	0,63	0,77	0,520	0,260	0,050	0,140
Total	98,93	100,36	99,20	99,90	98,07	98,02	98,88	98,90	94,15	95,60	
کاتیون ها برایه ۲۳ اکسیژن											
Si	7,21	6,83	6,82	6,84	7,09	7,18	6,99	7,10	7,66	7,72	7,40
AlIV	0,79	1,10	1,08	1,00	0,88	0,82	1,01	0,90	0,34	0,28	0,60
AlVI	0,01	0,00	0,00	0,00	0,00	0,12	0,11	0,03	0,13	0,30	0,13
AlT	0,80	1,10	1,08	1,00	0,88	0,94	1,12	0,93	0,47	0,58	0,73
Ti	0,08	0,12	0,04	0,13	0,06	0,00	0,0	0,00	0,00	0,00	0,01
Fe+3	0,64	1,30	1,24	1,20	1,33	0,55	0,73	0,87	0,04	0,00	0,44
Fe+2	1,32	0,89	1,14	1,10	0,89	1,07	0,93	0,73	0,42	0,46	0,00
Mn	0,09	0,12	0,10	0,11	0,14	0,06	0,06	0,06	0,00	0,01	0,01
Mg	2,86	2,64	2,57	2,61	2,61	2,20	2,18	2,31	4,41	4,22	4,41
Ca	1,75	1,65	1,80	1,71	1,52	1,82	1,80	1,75	1,98	1,98	1,94
Na	0,39	0,31	0,26	0,24	0,38	0,40	0,44	0,40	0,16	0,04	0,11
K	0,09	0,09	0,09	0,09	0,08	0,12	0,14	0,10	0,05	0,01	0,03
SUM	15,23	15,04	15,15	15,14	15,97	15,33	15,38	15,25	15,18	15,01	15,08
(Na+Ca)B	2,00	1,96	2,00	2,00	1,89	2,00	2,00	2,00	2,00	2,00	2,00
Na B	0,25	0,31	0,20	0,29	0,38	0,18	0,20	0,25	0,02	0,02	0,06
(Na+K) A	0,23	0,09	0,15	0,14	0,08	0,33	0,38	0,25	0,18	0,02	0,08
Mg(Mg+Fe+2)	0,68	0,75	0,69	0,70	0,75	0,75	0,77	0,82	0,91	0,90	1,00
Fe+3(Fe+3+AlVI)	0,99	1,00	1,00	1,00	1,00	0,82	0,87	0,96	0,24	0,00	0,77
نام	Mg-Hb	Mg-Hb	Fe-Mg-Hb	Mg-Hb	Mg-Hb	Mg-Hb	Mg-Hb	Mg-Hb	Tre	Tre	Mg-Hb



شکل ۶ الف و ب) جایابی داده‌های آمفیبول توده هامانه در نمودارهای تعیین ترکیب شیمیایی آمفیبول‌ها [۱۶]، پ) نمودار فشار نسبت به AIT [۱۷] برای تعیین گستره دمایی تشکیل آمفیبول، ت) نمودار دما نسبت به AIT [۱۵] برای محاسبه فشار تشکیل آمفیبول، ث) نمودار AIV/Nسبت به (FeT+Mg/FeoT) [۱۵] برای تعیین جایگاه آمفیبول، ج) جایگاه زمین‌ساختی آمفیبول‌های مورد بررسی، چ) جایگاه ترکیب شیمیایی آمفیبول‌ها: آمفیبول درون صفحه‌ای I-Amph: آمفیبول وابسته به مناطق فروراش).

SiO_2 و Na_2O نسبت به [۱۵] آمفیبول‌های توده‌های گرانیتوئید غرب اردکان در گستره زمین‌ساختی‌ماگمایی وابسته به مناطق فرورانش قرار دارند (شکل ۶ ج). مرز جدایش محیط زمین‌ساختی‌ماگمایی آمفیبول‌ها مقدار $\text{Al}^{\text{IV}}=1.5$ در نظر گرفته شده به طوری که مقدار بیش از ۱/۵ به آمفیبول‌هایی وابسته‌اند که در محیط‌های زمین‌ساختی جزایر قوسی و در فشارهای حدود ۱۰ کیلوبار تشکیل شده‌اند و مقدار پایین‌تر از ۱/۵ نشانگ آمفیبول‌هایی است که در کرانه‌های فعال قاره‌ای و در فشارهای کمتر از ۵ کیلوبار تشکیل گردیده‌اند [۲۳]. آمفیبول‌های مورد بررسی با توجه به مقدار Al^{IV} پایین‌تر از ۱/۵ (جدول ۲) و نمودارهای مختلف رده‌بندی زمین‌ساختی ماگمایی در گستره کرانه فعال قاره‌ای وابسته به فرورانش قرار دارند. از سویی، برای شناسایی خاستگاه ماگما عدد منیزیم ($\text{Mg}\#$) در هورنبلندها، برای توده امین‌آباد و ارجنان، به ترتیب ۰/۷۴، ۰/۹۴ بوده که بیانگر بر خاستگاه گوشه‌ای است [۲۴] (جدول ۲).

بیوپتیت

کاتیون‌های Mg و Al در کانی بیوپتیت به فرآیندهای ماگمایی حساس هستند؛ از این رو از کانی بیوپتیت در بررسی سنگ‌زایی توده‌های گرانیتوئیدی استفاده می‌شود [۲۵، ۲۶]. تصویر الکترون‌های پس پراکنده (BSE) نشان می‌دهد که بیوپتیت‌های موجود در توده‌های گرانیتوئیدی منطقه به صورت بلورهای بی‌شکل تا نیمه‌شکل دار و بین‌دانه‌ای (شکل ۷) و در تعادل با کانی‌های آمفیبول، کوارتز، پلاژیوکلاز، ارتوکلاز و مگنتیت هستند. برخی از بیوپتیت‌ها در راستای رخ‌ها و لبه، آثار دگرسانی به کلریت نشان می‌دهند. نتایج تجزیه ریزپردازی بیوپتیت‌ها پس از تفکیک مقادیر Fe^{2+} و Fe^{3+} بر اساس روش پیشنهادی مرجع [۲۷] و محاسبه فرمول ساختاری بر پایه روش ۲۴ اکسیژن در جدول ۳ ارائه شده‌است. جایایی داده‌های تجزیه شیمی بیوپتیت‌های مورد بررسی در نمودار سه‌تایی $\text{FeO}+\text{MnO}-\text{MgO}-\text{TiO}_2$ [۲۸] نشان می‌دهد که اغلب بیوپتیت‌ها در گستره A و در مرز گستره‌های بیوپتیت‌های اولیه ناشی از تبلور ماگمایی هستند (شکل ۸ الف). همچنین در بیوپتیت‌های ماگمایی $\text{Al}^{\text{VI}}<1$ (بر اساس ۲۴ اکسیژن) است. در بیوپتیت‌های مورد بررسی این عدد 0.037 تا 0.099 بوده که تایید کننده ماهیت ماگمایی این کانی است (جدول ۳). از این نمودار به ویژه می‌توان برای تشخیص برآلومین (با توجه به

این روش کمترین خطای را نسبت به روش‌های دیگر دارد. توده‌های گرانیتوئیدی غرب اردکان میانگین گستره فشار $0.5/4.3$ کیلوبار را نشان می‌دهند. برای محاسبه دما از نمودار فشار نسبت به Al^{IV} [۱۸] استفاده شد (شکل ۶ پ). سنگ‌های منطقه گستره دمایی 530 تا 890 درجه سانتی‌گراد را نشان می‌دهند. پس از محاسبه فشار بر اساس روش‌های مختلف و جایگذاری در رابطه (۱)، دمای تبلور هورنبلندهای توده‌های غرب بیزد به‌طور میانگین 530 تا 840 درجه سانتی‌گراد بدست می‌آید. میانگین دمایی به دست آمده از لبه هورنبلندهاین توده‌ها، 790 درجه سانتی‌گراد و دمای مرکز هورنبلندهاین توده‌ها 840 درجه سانتی‌گراد است. در دو دهه گذشته از فشارسنج آلومینیوم در هورنبلندهاین به‌طور گستردۀ برای محاسبه عمق تبلور ماگما، عمق جایگیری ژرف سنگ یا عمق جایگیری ماگما در پوسته استفاده شده‌است [۱۹]. با توجه به میانگین فشارهایی به دست آمده، عمق تشکیل توده‌های نفوذی غرب اردکان بر اساس چگالی سنگ‌های پوسته قاره‌ای $2/7$ گرم بر سانتی‌متر مکعب) بین 3 تا $4/0$ کیلومتر متغیر است. همچنین نمونه‌ها بر اساس شکل 0.5 کیلومتر می‌گیرند. برای محاسبه کمی مقدار گریزندگی اکسیژن از عث در گستره با گریزندگی بالای اکسیژن ($\text{Fe}^{\#}$ کمتر از 0.5) قرار می‌گیرند. برای محاسبه کمی مقدار گریزندگی اکسیژن از رابطه زیر استفاده گردید [۲۰] :

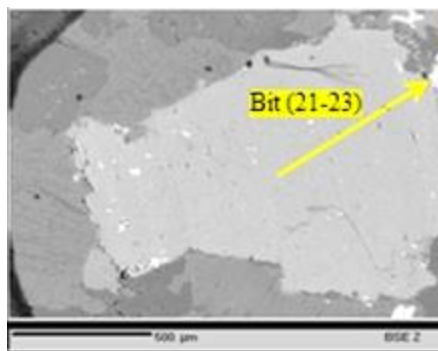
$$\text{Log } f_{\text{O}_2} = -30930 / \text{T} + 14.98 + 0.142 (\text{P}-1) \quad (2)$$

مقدار گریزندگی اکسیژن توده‌های غرب اردکان بالا و از $-10/7$ تا $-14/13$ bar متغیر است که با ماهیت آهکی قلیایی توده‌های نفوذی منطقه و شکل‌گیری آنها در محیط فرورانش همخوانی دارد [۲۱].

بسیاری از توده‌های نفوذی در ارتباط با قوس در گریزندگی بالای اکسیژن، هستند در حالیکه توده‌های نفوذی غیرکوهزایی اغلب در گریزندگی پایین اکسیژن متبلور می‌شوند. برای تعیین خاستگاه و محیط زمین‌ساختی ماگمایی سنگ‌های آذرین می‌توان از ترکیب آمفیبول‌ها استفاده نمود. به باور بسیاری از پژوهشگران، حضور آمفیبول‌های کلسیمی در سنگ‌های گرانیتوئیدی نشانگر وابستگی این سنگ‌ها به گرانیتوئیدهای نوع I است، زیرا مقدار CaO در گرانیتوئیدهای نوع I زیاد است و منجر به تبلور هورنبلندهای شود [۱۴، ۲۲]. در نمودارهای دو متغیره TiO_2 نسبت به Na_2O ، Al_2O_3 ، K_2O و MgO (شکل ۶)، بیشتر آمفیبول‌های موجود در توده‌های غرب اردکان در گستره نیمه قلیایی قرار می‌گیرند؛ بر اساس نمودارهای مختلف

در سنگ‌های گرانیتوبیوتیک تابع ترکیب ماقمای مادر، گریزندگی اکسیژن، دمای مذاب و خاستگاه گرانیت‌هاست. بر جسته‌ترین ویژگی ترکیبی بیوپیت در توده‌های گرانیتوبیوتیکی، نمونه‌ها در بالای خط ۱:۱ است که بیانگر جذب بیشتر آلومینیم در شبکه بیوپیت‌ها بوده و این توده گرانیتوبیوتیکی از یک والد ماقمایی به عبارتی نوع I بوجود آمده است (شکل ۸ ث). در نمودار MgO - FeO - Al_2O_3 مثلثی [۳۰]، نمونه‌ها در گستره گرانیت‌های متالومین قرار می‌گیرند (شکل ۸ ج). در نمودار مرجع [۳۲] بر اساس تغییرات نسبت $Fe/(Mg+Fe)$ نسبت به Al^{IV} ، اغلب بیوپیت‌ها در گستره‌های گرانیت‌های نوع I قرار می‌گیرند (شکل ۸ ج).

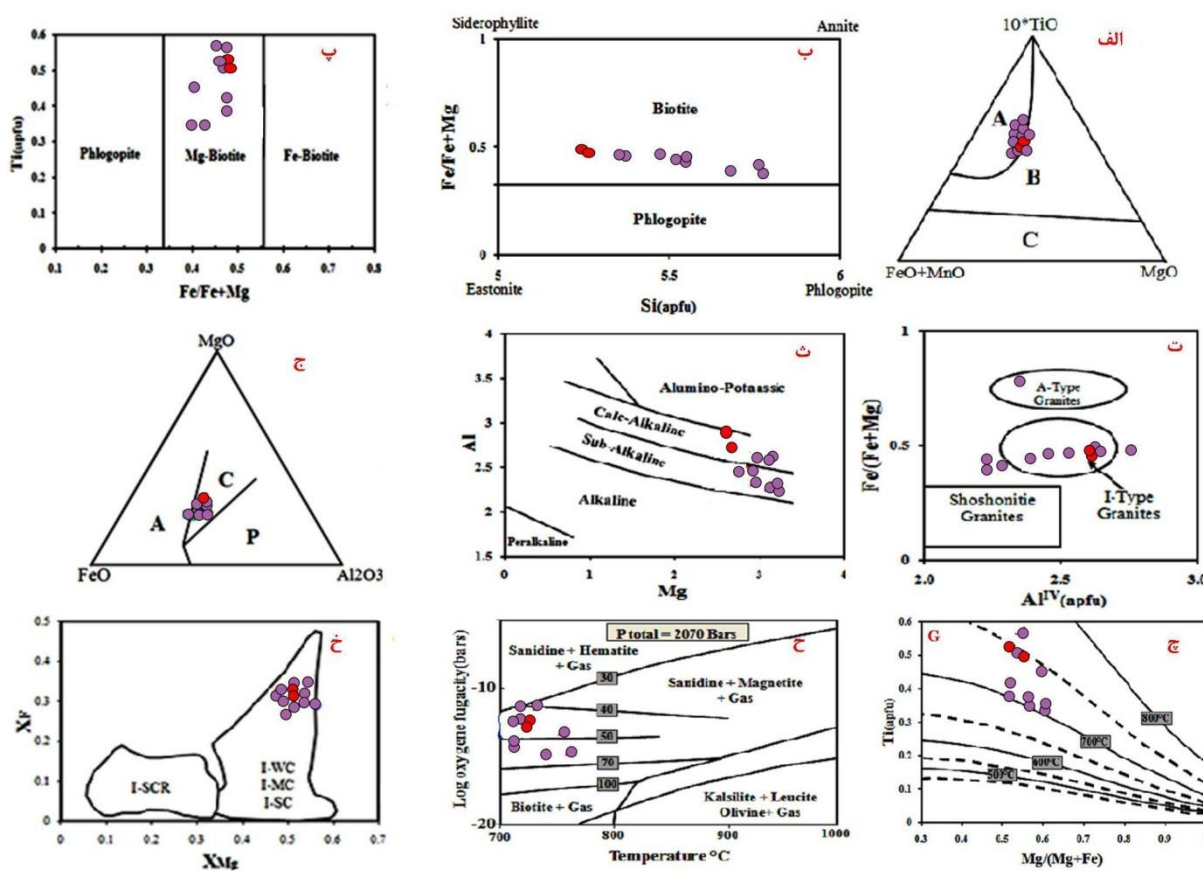
مقدار Al و حالت اکسایش و یا کاهش (با توجه به مقدار $Fe/(Fe+Mg)$) سنگ میزبان بیوپیت کمک گرفت. چهار ضلعی ASPE بر اساس مقدار Al و $Fe/(Fe+Mg)$ میکاها به کار می‌رود (شکل ۸). در شکل ۸ ب [۲۹] همه میکاها مورد بررسی با داشتن $Fe/(Fe+Mg)$ بیشتر از ۰,۳۳ (۰,۴۱-۰,۵۵) در رده بیوپیت قرار می‌گیرند (شکل ۸ ب). این نمونه‌ها از نوع منیزیوبیوپیت هستند (شکل ۸ ب). بیوپیت‌های توده‌های نفوذی غرب اردکان دارای مقدار تقریباً برابر سیلیس (۵,۳ تا ۵,۷) در ترکیب خود هستند که این بیانگر خویشاوندی این توده‌ها و شباهت آشکار فرآیندهای ماقمایی سازنده سنگ‌های این توده‌هاست. این بیوپیت‌ها به دلیل غنی بودن از منیزیم، در شرایط اکسایشی تشکیل شده‌اند (شکل ۷ ت). ترکیب بیوپیت



شکل ۷ تصاویر الکترون‌های پس پراکنده (BSE) از بیوپیت توده‌ی نفوذی این آباد.

جدول ۳ نتایج تجزیه ریزپردازی بیوپیت‌ها بر اساس روش پیشنهادی مرجع [۲۷] و محاسبه فرمول ساختاری بر پایه روش ۲۴ اکسیژن.

نمونه موقعیت	EJ.4			AM.38			AM.35					
	3,5,R	3,6,C	2,23,R	2,22,M	2,21,C	Feb-37	Feb-38	Feb-39	Feb-40	Feb-41	Feb-42	
SiO ₂	۲۵,۱۲	۲۴,۷۱	۲۷,۹۱	۲۸,۲۴	۲۸,۶۷	۲۶,۵۲	۲۴,۱	۲۶,۲۳	۲۵,۹۵	۲۷,۱۲	۲۶,۴۱	
TiO ₂	۴,۸۷	۴,۶۲	۳,۰,۹	۴,۰,۷	۲,۱۷	۴,۵۱	۲,۳۸	۴,۴۵	۳,۸۶	۵,۱۳	۴,۴۹	
Al ₂ O ₃	۱۵,۱۱	۱۶,۳۶	۱۳,۰,۹	۱۳,۰,۸	۱۳,۰,۵	۱۳,۸۵	۱۴,۵۱	۱۳,۵۷	۱۴,۴۶	۱۳,۵۶	۱۳,۷۷	
FeO	۱۸,۵۸	۱۹,۱۴	۱۷,۶۱	۱۷,۱۸	۱۶,۶۴	۱۹,۶۷	۲۱,۱۲	۱۸,۷۵	۲۰,۸۲	۱۷,۸۵	۱۹,۴۳	
MnO	-,۷۵	-,۷۷	-,۲	-,۳	-,۲۲	-,۲۸	-,۲۵	-,۲۱	-,۲۱	-,۱	-,۲۴	
MgO	۱۱,۷۵	۱۱,۵۷	۱۳,۰,۲	۱۴,۱	۱۴,۲۸	۱۲,۸۵	۱۲,۹۱	۱۲,۰,۳	۱۲,۷۶	۱۲,۳۶	۱۲,۳۱	
CaO	-,۰,۶	-,۰,۱	-,۰,۳	-,۰,۳	-,۰,۱	-,۰,۱	-,۰,۴	-,۰,۳	-,۰,۲	-	-	
Na ₂ O	-,۱	-,۱۲	-,۱۹	-,۱۱	-,۱۳	-,۱۱	-,۰,۹	-,۰,۸	-,۰,۷	-,۱۵	-,۱۲	
K ₂ O	۱,۰,۱۲	۱,۰,۲۸	۱,۰,۳۹	۱,۰,۵۱	۱,۰,۴۴	۱,۱,۴۴	۹,۷۶	۱۱,۵۱	۹,۲۲	۱۲,۰,۱	۱۱,۴۹	
مجموع	۹۶,۶	۹۷,۱۷	۹۵,۵۳	۹۷,۰۷	۹۶,۶۱	۹۸,۷۲	۹۶,۱۶	۹۷,۸۶	۹۷,۲۵	۹۶,۲۹	۹۶,۲۶	
Si	۵,۳۵	۵,۲۴	۵,۷۶	۵,۶۷۹	۵,۷۷۳	۵,۴۷۳	۵,۲۸	۵,۵۰	۵,۳۶۲	۵,۵۴۹	۵,۴۸	
Al ^{IV}	۲,۶۴۴	۲,۷۵۳	۲,۷۳۹	۲,۷۹	۲,۷۷	۲,۴۴۶	۲,۶۴۲	۲,۴۷۲	۲,۴۵۲	۲,۴۸۹	۲,۴۴۳	
Al ^{VI}	-,۰,۷۳	-,۱۶۲	-,۱۶	-	-,۰,۶۹	-	-	-	-	-	-	
Al ^I	۲,۷۱۶	۲,۹۱۵	۲,۷۴۵	۲,۷۹۱	۲,۷۴۶	۲,۴۴۶	۲,۶۴۲	۲,۴۷۲	۲,۵۴۲	۲,۴۸۹	۲,۴۴۲	
Ti	-,۰,۵۹	-,۰,۵۲	-,۰,۳۵	-,۰,۴۵	-,۰,۳۵	-,۰,۵	-,۰,۴۹	-,۰,۵	-,۰,۴۷	-,۰,۵۷	-,۰,۵۸	
Fe	۲,۳۷۱	۲,۴۲۱	۲,۳۸	۲,۱۳	۲,۰,۷۸	۲,۴۵	۲,۷۹	۲,۸۹	۲,۵۹	۲,۴۴	۲,۴۴	
Mn	-,۰,۴۵	-,۰,۴۷	-,۰,۲۶	-,۰,۲۵	-,۰,۲۸	-,۰,۴۶	-,۰,۳۳	-,۰,۲۷	-,۰,۲۷	-,۰,۱۳	-,۰,۳۱	
Mg	۲,۶۷۱	۲,۶,۷	۲,۹۰۵	۲,۱۲۲	۲,۱۷۸	۲,۷۹	۲,۹۷	۲,۷۷۲	۲,۸۷	۲,۷۵۴	۲,۷۶۲	
Ca	-,۰,۱	-	-,۰,۰۵	-,۰,۰۵	-,۰,۰۲	-,۰,۰۲	-,۰,۰۷	-,۰,۰۵	-,۰,۰۳	-	-	
Na	-,۰,۳	-,۰,۳۵	-,۰,۰۵	-,۰,۲۲	-,۰,۲۸	-,۰,۲۲	-,۰,۲۷	-,۰,۲۴	-,۰,۴۹	-,۰,۴۳	-,۰,۳۵	
K	۱,۹۶۹	۱,۹۸۲	۲,۱,۱۶	۱,۹۹۱	۱,۹۸۸	۱,۱۸۳	۱,۹۳۳	۱,۲۳۷	۱,۷۸۶	۲,۲۹	۲,۰,۶	
SUM	۲۲,۴۴	۲۲,۶۹	۲۲,۰,۹	۲۲,۰,۷	۲۲,۰,۳	۲۲,۰,۳	۲۲,۰,۵	۲۲,۰,۴	۲۲,۰,۲	۲۲,۰,۴	۲۲,۰,۵	
Y _{Total}	۸,۴۳۴	۸,۶۷۷	۸,۰,۱۸	۸,۰,۲۵	۸,۰,۰۵	۸,۲۱۴	۸,۷۹	۸,۹۶	۸,۸۹۵	۸,۹۳۴	۸,۱۹	
X _{Total}	۲,۰,۰,۸	۲,۰,۱۷	۲,۰,۷۵	۲,۰,۲۸	۲,۰,۲۷	۲,۲۱۶	۱,۹۵۷	۲,۲۶۵	۱,۸,۰,۸	۲,۲۲۳	۲,۲۴۱	
Al _{Total}	۲,۷۱۶	۲,۹۱۵	۲,۳۴۵	۲,۲۹۱	۲,۲۶	۲,۴۴۶	۲,۶۴۲	۲,۴۳۷	۲,۵۴۲	۲,۲۸۹	۲,۴۴۴	
Fe/Fe+Mg	-,۷۴	-,۴۸	-,۰,۳	-,۰,۴	-,۰,۴	-,۴۷	-,۰,۴۸	-,۰,۴۷	-,۰,۴۸	-,۰,۴۵	-,۰,۴۷	
Mn/Mn+Fe	-,۰,۱۹	-,۰,۱۹	-,۰,۱۱	-,۰,۱۲	-,۰,۱۳	-,۰,۱۴	-,۰,۱۲	-,۰,۱۱	-,۰,۱	-,۰,۰۶	-,۰,۱۲	
Mg#	-,۰,۵	-,۰,۲	-,۰,۷	-,۰,۹	-,۰,۶	-,۰,۳	-,۰,۲	-,۰,۲	-,۰,۲	-,۰,۰۵	-,۰,۰۵	



شکل ۸ (الف) نموارسه تابی تمایز انواع بیوتیت‌ها [۲۸]، (ب) رده‌بندی شیمیایی میکاهای توده نفوذی مورد بررسی در نمودار مرجع [۳۳]، (پ) نمودار مثلثی $MgO-FeO-Al_2O_3$ [۲۹] و جایگاه ترکیب شیمیایی بیوتیت‌ها، (ت) نمودار درجه اشباع شدگی آلومینیم بیوتیت‌های مورد بررسی نسبت به سنگ میزبان [۳۴]، (ث) نمایش نمونه‌های بیوتیت در نمودار تغییرات $Al^{IV}/(Fe/(Fe+Mg))$ نسبت به Al^{IV} [۳۲]، (ج) نمودار مثلثی $FeO-MgO-Al_2O_3$ برای رده‌بندی نوع سری‌ماگمای گرانیتوئیدی، (چ) نمودار تعیین دما با استفاده از مقدار تیتان بیوتیت‌ها [۳۵]، (ح) جایابی نمونه‌ها در نمودار تغییرات $\text{Log } fO_2$ نسبت به دما [۱۸]. (خ) جایابی نمونه‌های بیوتیت‌های هامانه در نمودارهای براورد میزان آلودگی پوسته‌ای.

فلدسپار

به منظور بررسی ترکیب شیمیایی و فرآیندهای فیزیکی-شیمیایی در محیط تشکیل فلدسپارها در توده‌های گرانیتوئیدهای غرب یزد، تعداد ۲۴ نقطه از نمونه‌های فلدسپار این توده‌ها تجزیه ریزپردازشی شدند و داده‌ها پس از محاسبه فرمول ساختاری بر پایه ۸ اکسیژن در جدول ۴ ارائه شده‌است. نتایج نشان می‌دهد که ترکیب شیمیایی پلاژیوکلازهای مونزوگرانیت امین‌آباد از An_{16} تا An_{47} ، گرانودیوریت ارجان از An_{27} تا An_{37} ، و ترکیب فلدسپارهای قلیایی مونزوگرانیت امین‌آباد از Or_{85} تا Or_{98} متغیر است (جدول ۴). بررسی ترکیب شیمیایی لبه و مرکز بلورهای پلاژیوکلازها نشان می‌دهد که ترکیب پلاژیوکلازها از مرکز به لبه در مونزوگرانیت امین‌آباد از An_{21} به An_{26} ، و در گرانودیوریت ارجان از

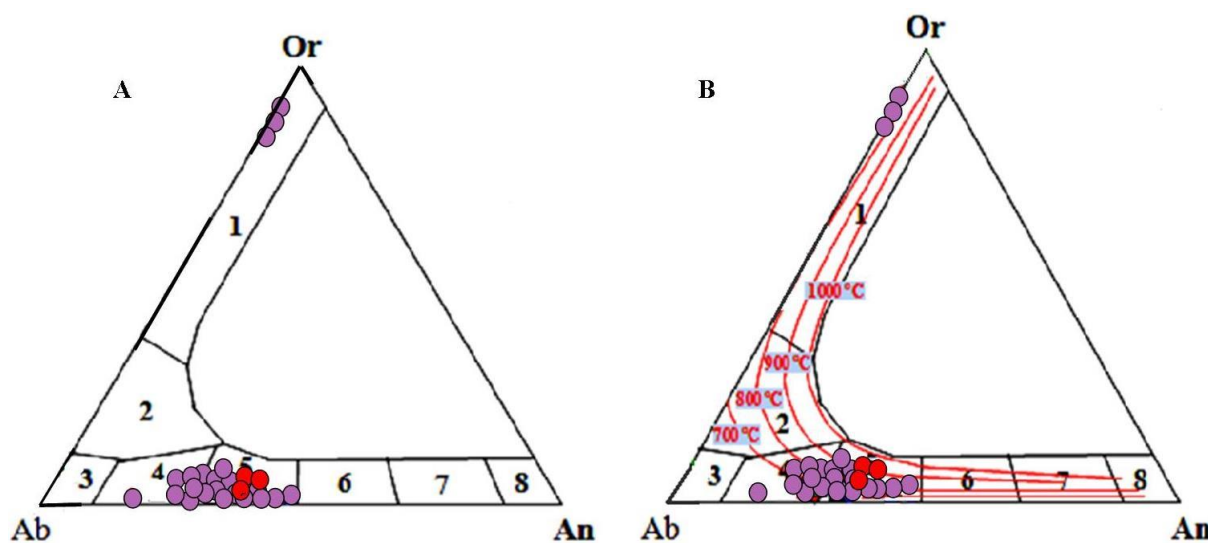
در نمودار مرجع [۲۸]، ترکیب بیوتیت‌ها گستره گرانیتوئیدی آهکی قلیایی را نشان می‌دهد (شکل ۸ ح). در نمودار $Ti/(Mg+Fe)$ نسبت به $Mg/(Mg+Fe)$ ، بیوتیت‌های مورد بررسی دمای ۶۵۰ تا ۷۳۰ درجه سانتی‌گراد را نشان می‌دهند (شکل ۸ ح). گریزندگی اکسیژن این بیوتیت‌ها 10^{-11} تا 10^{-14} بار برآورد می‌شود (شکل ۸ خ). این بیوتیت‌ها مقادیری از آلودگی پوسته‌ای در گرانیت‌ها نشان می‌دهند (شکل ۸ خ). بررسی داده‌های تجزیه ریزپردازشی بیوتیت‌ها نشان می‌دهد که مقدار میانگین عدد منیزیم ($Mg^{\#} = Mg/Mg+Fe$) از مرکز به سمت لبه از ۰/۴۹ به ۰/۵۱ کاهش می‌یابد که با روند تبلور ماقما همخوانی دارد؛ زیرا با پیشرفت تبلور به دلیل شرکت عنصر منیزیم در ساختار کانی‌های زود تشکیل شده، از مقدار آن در ماقما کم شده و آهن جای منیزیم را در ترکیب کانی می‌گیرد.

نمودار سه متغیره An-Ab-Or [۴] ترکیب فلدسپارهای قلیایی توده‌های گرانیتوئیدی منطقه در گستره سانیدین (ارتوكلاز) قرار می‌گیرند (شکل ۹ الف). این گروه از فلدسپارها بر اساس بررسی‌های سنگنگاری از جنس ارتوكلاز و به صورت نیمه‌شکل دار هستند. بر پایه شکل ۹ ب [۳۶]، دمای توده‌های گرانیتوئیدی غرب اردکان در گستره ۷۰۰ تا ۸۰۰ درجه سانتی‌گراد برآورد می‌شود.

An₃₁ به An₂₇، تغییر می‌کند. در توده‌ی گرانیتوئیدی امین‌آباد، پلاژیوکلازها در لبه نسبت به مرکز دارای درصد آنورتیت بیشتری بوده و کلسیمی‌تر هستند. از این‌رو، آنها منطقه‌بندی غیرعادی و معکوس دارند که گویای برقرار نبودن تعادل بین بلور با ماقما در اثر فرآیندهای چون اختلاط ماقمایی و یا تغییر فشار بخار آب هنگام تبلور پلاژیوکلازهاست. تغییر ترکیب پلاژیوکلازها از الیگوکلاز- آندزین در مونزو-گرانیت‌های امین‌آباد امری عادی است و با جدایش ماقمایی همخوانی دارد. در

جدول ۴ نتایج تجزیه ریزپردازشی فلدسپارهای توده‌های گرانیتوئیدی غرب اردکان (بر اساس ۸ اکسیژن). Mg-bit: منگزیوبیوتیت، C: مرکز، M: کیمانه، R: لبه.

نمونه	موقعیت	کاتیون‌ها بر پایه ۸ اکسیژن						Or	Ab	An
		i	J	a	a	κ	n			
AM.35	2 26	۲,۶	۱	۰	.۱	۲,۶	۶,۲	۹۷,۴	2.6	0
AM.35	2 27	۲,۶	۱	۰	.۱	۲,۶	۶,۲	۹۷,۷	2.3	0
AM.35	2 28	۲,۶	۱	۰	.۱	۲,۶	۶,۲	۹۶,۸	3.1	0.1
AM.35	2 29	۲,۳	۱,۴	.۸	۱	۰	۵,۵	۱,۶	55.1	43.3
AM.35	2 30	۲,۴	۱,۳	.۶	۱,۲	۰	۵,۶	۲,۲	۶۴,۴	۳۳,۴
AM.35	2 31	۲,۳	۱,۴	.۶	۱,۱	.۱	۵,۶	۴,۷	۶۰,۹	۳۴,۴
AM.35	3 43	۲,۳	۱,۴	.۷	۱,۱	۰	۵,۶	۲,۳	۵۹,۷	۳۷,۹
AM.35	3 44	۲,۳	۱,۴	.۸	۱	۰	۵,۶	۲,۶	۵۶,۶	۴۰,۸
AM.35	3 45	۲,۲	۱,۵	.۸	.۹	۰	۵,۵	۲,۲	۵۱,۳	۴۶,۵
AM.35	3 46	۲,۵	۱,۲	.۴	۱,۳	.۱	۵,۶	۵,۱	۷۱,۱	۲۳,۸
AM.35	3 47	۲,۲	۱,۵	.۸	.۹	۰	۵,۵	۲,۴	۵۱,۸	۴۵,۸
AM.35	3 48	۲,۴	۱,۳	.۵	۱,۳	.۱	۵,۶	۵,۴	۶۸,۶	۲۶
AM.38	1/13 R	۲,۶	۱	۰	.۳	۲,۶	۶,۴	۹۰,۹	۹,۱	۰
AM.38	1/14 M	۲,۶	.۹	۰	.۴	۲,۳	۶,۳	۸۴,۶	۱۵,۱	.۳
AM.38	1/15 R	۲,۶	۱	۰	.۴	۲,۴	۵,۳	۸۷	۱۲,۹	.۲
AM.38	1/16 R	۲,۴	۱,۳	.۵	۱,۳	.۱	۵,۶	۳۷,۷	۷۱,۳	۲۵
AM.38	1/17 M	۲,۴	۱,۳	.۵	۱,۴	۰	۵,۶	۲,۵	۷۳	۲۴,۶
AM.38	1/18 C	۲,۵	۱,۲	.۳	۱,۶	۰	5.7	۲,۴	۸۱,۶	۱۶
AM.38	4/24 C	۲,۵	۱,۲	.۴	۱,۵	.۱	۵,۶	۲,۷	۷۶,۶	۲۰,۷
AM.38	4/25 M	۲,۵	۱,۳	.۴	۱,۴	.۱	۵,۶	۳,۹	۷۲,۲	۲۳,۹
AM.38	4/26 R	2.4	1.3	.۵	۱,۳	.۱	۵,۶	۳,۵	۷۰,۸	۲۵,۸
EJ.4	2/7 C	2.3	1.4	.۷	۱	.۱	۵,۵	۵	۵۸	۳۷
EJ.4	2/8 M	2.4	1.3	.۶	۱,۱	.۱	۵,۵	۵,۸	۶۲,۸	۳۱,۴
EJ.4	2/9 R	2.4	1.4	.۵	۱,۳	۰	۵,۶	۱,۶	۷۱	۲۷,۴



شکل ۹ الف) موقعیت فلدسپارهای هامانه در نمودار سه متغیره Or-An-Ab [۴]، ب) برآورد دمای تشكیل فلدسپارها در نمودار سه متغیره Or-An-Ab همراه با همدماهای سولوس [۳۶].

بلورهای پلازیوکلازهای An_{47} تا An_{16} با ترکیب شیمیایی الیگوکلاز تا آندزین تشکیل شده‌اند. در این پلازیوکلازهای، لبه نسبت به مرکز دارای مقدار آنورتیت بیشتر و کلسیمی تراست و منطقه‌بندی غیرعادی و معکوس نشان می‌دهد که بیانگر برقرار نبودن تعادل بین بلور با مagma در اثر فرآیندهایی چون آمیختگی مagmaی و یا تغییر فشار بخار آب هنگام تبلور پلازیوکلازهای است.

قدرتانی

خداآوند بزرگ را سپاس که به من توفیق داد گامی هر چند کوچک در راه تعالی علم و دانش بردارم. برخود لازم می‌دانم از معاونت پژوهشی دانشگاه پیام نور بابت بخشی از هزینه‌های تحقیق در قالب طرح پژوهشی و گرانت تشرک نموده و همچنین از سردبیر، هیات تحریریه، داوران محترم و خانم قوامی مسئول دفتر مجله بلورشناسی و کانی شناسی ایران تشرک و سپاس فراوان داشته باشم.

مراجع

- [1] Darvishzadeh A., "Geology of Iran", Neda publication, Tehran (1991) 901p.
- [2] Alavi M., "Regional stratigraphy of the Zagros fold-thrust belt of Iran and its proforeland evolution". American Journal of Science 304 (2004) pp. 1-20.

برداشت تودهای نفوذی غرب اردکان، امین ابد و ارجنان، با رخنمون‌های پراکنده و رنگ روشن در بخش میانی پهنه ایران مرکزی قرار دارند. در این سنگ‌ها، کانی‌های اصلی ارتوکلاز، پلازیوکلاز، کوارتز و کانی‌های فرعی بیوتیت و آمفیبول دیده می‌شوند. بررسی شیمی آمفیبول‌ها بیانگر حضور آمفیبول مagmaی نوع کلسیمی با ماهیت شبیه گرانیت‌های نوع I است که در فشاری معادل ۴/۳ کیلوبار و دمای ۸۹۰ تا ۷۳۰ درجه سانتی‌گراد تشکیل شده‌اند. این آمفیبول‌ها گریزنده‌گی اکسیژن بالا از ۱۰/۷ - تا ۱۴/۱۳ (bars) دارند که با ماهیت آهکی قلیایی تودهای نفوذی منطقه و شکل‌گیری آنها در محیط فروزانش همخوانی دارد. مقدار عدد منیزیم ($\text{Mg}^{\#}$) در هورنبلند، خاستگاه گوشه‌ای را تایید می‌کند.

تجزیه شیمی بیوتیت‌های گرانیت‌وئیدی غرب اردکان بیانگر حضور میکای مagmaی با ماهیت بین دو قطب آنیت و فلوگویت بوده که در گریزنده‌گی به نسبت بالای اکسیژن تشکیل شده است. این بیوتیت‌ها در گستره نوع I آهکی قلیایی در ارتباط با فروزانش قرار دارند که در دمای ۶۵۰ تا ۷۳۰ درجه سانتی‌گراد و گریزنده‌گی اکسیژن 10^{-11} تا 10^{-14} بار تشکیل شده‌اند. با توجه به شیمی بیوتیت‌های مورد بررسی magma طی صعود و جایگیری، دچار آلودگی و آلایش مواد پوسته‌ای متوسط تا شدید شده‌است. در دمای ۷۰۰ تا ۸۰۰ درجه سانتی‌گراد،

- Odenwald (Germany) and Their Implication for the Geotectonic Development of the Odenwald”, Mineralogy and Petrology, 72 (2001) 185-207.*
<https://doi.org/10.1007/s007100170033>
- [15] Anderson J. L., Smith D. R., “*The effect of temperature and oxygen fugacity on Al-in-hornblende barometry*”, American Mineralogist 80 (1995) pp. 549-559.
- [16] Leake B. E., Woolley A. R., Arps C. E. S., Birch W. D., Gilbert M. C., Grice J. D., Hawthorne F. C., Kato A., Kisch H. J., Krivovichev V. G., Linthout K., Laird J., Mandarino J. A., Maresch W. V., Nickel E. H., Rock N. M. S., Schumacher J. C., Smith D. C., Stephenson N. C. N., Ungaretti L., Whittaker E. J. W., Youzhi G., “*Nomenclature of amphiboles: Report of the Subcommittee on Amphiboles of the International Mineralogical Association, Commission on New Minerals and Mineral Names*”, European Journal Mineralogy. 9, (1997) pp. 623-651.
- [17] Schmidt M., “*Amphibole composition in tonalities as a function of pressure: an experimental calibration of the Al in hornblende barometer*”, Contribution Mineral Petrology 110, (1992) pp. 304-310.
- [18] Wones D. R., Eugster H. P., “*Stability of biotite experiment, theory, and application*”, American Mineralogy 50 (1965) pp.1228-1272.
- [19] Moazzen M., Droop G. T. R., “*Application of mineral thermometers and barometers to granitoid igneous rocks: the Etive Complex, W Scotland*”, Mineralogy and Petrology 83 (2005) pp. 27-53.
- [20] Anderson J. L., “*Status of thermo-barometry in granitic batholiths*”, Earth Science Review 87 (1996) pp. 125-138.
- [21] Chappell B. W., White A. J. R., Williams I. S., Wyborn D., “*Low- and high-temperature granites. Trans. Roy. Soc.*”, Edinburgh: Earth Sci. (in press).
- [22] Coltorti M., Bondaiman C., Faccini B., Grégoire M., O'Reilly S. Y., Powell W., “*Amphiboles from suprasubduction and intraplate lithospheric mantle*”, Lithos 99 (2007) pp. 68-84.
- [23] Zhang C.L., Yu H.F., Ye H.M., Zhao Y., Zhang D.S., “*Aoyitake plagiogranite in western Tarim block, NW China: Age, geochemistry*”, petrogenesis and its tectonic implications:Science in China Series D: Earth Sciences, 49(11) (2006) p. 1121-1134.
- [24] Abdel- Rahman A. M., “*Nature of biotites from Alkaline, Calc-alkaline and Peraluminous*
- [3] Aftabi A., Atapour H., “*Regional aspects of shoshonitic volcanism in Iran*”, Episodes 23 (2000) pp. 119-125.
- [4] Moin-Vaziri H., “*An introduction to magmatism in Iran*”, Kharazmi University publication. 440pp. (2004) (in Persian).
- [5] Hassanzadeh J., Ghazi A. M., Axen G., Guest B., “*Oligomiocene mafic-alkaline magmatism in north and northwest of Iran: evidence for the separation of the Alborz from the Urumieh-Dokhtar magmatic arc*”, Geology Society American Abstract Progrom. 34 (2002) 331p.
- [6] Berberian M., King G. C. P., “*Toward a paleogeography and tectonic evolution of Iran.*”, Canadian Journal of Earth Sciences 18, pp. 210-265.
- [7] Berberian F., Muir I. D., Pankhurst R. J., Berberian M., “*Late Cretaceous and early Miocene Andean-type plutonic activity in northern Makran and Central Iran*”, Journal of the Geological Society 139 (1982) pp. 605-614.
- [8] Mohajjal M., Fergusson C. L., Sahandi M. R., “*Cretaceous-Tertiary convergence and continental collision, Sanandaj-Sirjan Zone, western Iran*”, Journal of Asian Earth Sciences 21 (2003) pp. 397-412.
- [9] Omrani J., Agard P., Whitechurch H., Benoit M., Prouteau G., Jolivet L., “*Arc-magmatism and subduction history beneath the Zagros Mountains, Iran: A new report of adakites and geodynamic consequences*”, Lithos 106 (2008) pp. 380-398.
- [10] Shahabpour J., “*Tectonic evolution of the orogenic belt in the region located between Kerman and Neyriz. Aj*”, Asian Earth Science 24 (2005) pp 405-417.
- [11] Hajmolaali A., Ghomashi A., Afsharian A.M., Hadadian M., “*geology map 1/100000 of Khezrabad*”, Geological Survey and Mineral Explorationof Iran (1996).
- [12] Shabanian N., Davoudian A. R., Dong Y., Liu X., “*U-Pb zircon dating, geochemistry and Sr-Nd-Pb isotopic ratios from Azna-Dorud Cadomian metagranites, Sanandaj-Sirjan zone of western Iran*”, Precambrian Research, 306:41-60 (2018). <https://doi.org/10.1016/j.precamres.2017.12.037>.
- [13] Esawi E. K., “*AMPH-CLASS: An excel spreadsheet for the classification and nomenclature of amphibole based on the 1997 recommendations of the international mineralogical Association*”, Computers Geosciences 30 (2004) pp. 753-760.
- [14] Stein E., Dietl E., “*Hornblende Thermobarometry of Granitoids of Central*

- China: implications for granitoid genuses. *Lithos* 63 (2002) pp. 165-187.
- [31] Forster H. J., Tischendorf G., "Reconstruction of the volatile characteristics of granitoidic magmas and hydrothermal solutions on the basis of dark micas: the Hercynian Postkinematic granites and associated high-temperature mineralization of the Erzgebirge (G.D.R)", *Chemie der Erde (Geochemistry)* 49 (1989) pp.7-20.
- [32] Lalonde A., Bernard P., "Composition and colour of Biotite from granites", *Can. Mineralogy* 31 (1993) pp. 203-217.
- [33] Henry D. J., Guidotti C. V., Thomason J. A., "The Ti-substitution surface for low-to-medium pressure metapelitic biotites: implications for geothermometry and Ti- substitution mechanisms", *American Mineralogist* 90 (2005) pp. 316-328.
- [34] Ague J. J., Brimhall G. H., "Regional variations in bulk chemistry", mineralogy and the compositions of mafic and accessory minerals in the batholiths of California. *Geological Society of America Bulletin*, 100 (1988) pp. 891-911
- [35] Deer W.A., Howie R. A., Zussman J., "An introduction to the rock forming minerals", Longman Scientific and Technical (1991) 528 p.
- [36] Elkins L .T., Grove T. L., "Ternary feldspar experiments and thermodynamic models", *American Mineralogist* 75 (1990) pp. 544-559.
- "magmas", *Journal of Petrology* 35, 2 (1994) pp. 525-541.
- [25] Ben Ohoud M. D., "iscrimination between primary magmatic biotites, reequilibrated biotites and neoformed biotites", Publhshed by Elsevier SAS.
- [26] Droop G. T. R., "A general equation Fe^{3+} concentration in ferromagnesian silicates and oxygen from microprobe analysis using stoichiometric criteria" *Mineralogical Magazine* 51 (1987) pp. 431-435.
- [27] Nachit H., Ibhi A., Abia E. I. H., Ohoud M. B. "Discrimination between primary magmatic Biotites", *C. R. Acad. Science. Paris Geoscience* 337 (2005) pp.1415-1420.
- [28] Nockolds S. R., "The relation between chemical composition and paragenesis in the Biotite micas of igneous rocks", *American Journal Science* 245 (1947) pp.401-420.
- [29] Fleet M .E., Barnett R.L., "Partitioning in calciferous amphiboles from the Frood mine Sudbury, Ontario", *The Canadian Mineralogist* 16 (1978) pp. 527–532.
- [30] Jiang Y., Jiang S., Ling H., Zhou X., Rui X., Yang W., "Petrology and geochemistry of shoshonitic plutons from the western Kunlun orogenic belt, Xinjiang", northwestern